

УДК 541.136

Р.П. Песков, Р.Д. Апостолова, Е.М. Шембель

ТЕРМОДИНАМИЧЕСКИЕ И КИНЕТИЧЕСКИЕ ХАРАКТЕРИСТИКИ ТОНКОСЛОЙНЫХ КОМПОЗИЦИЙ ШПИНЕЛИ LiMn_2O_4 С УГЛЕРОДНЫМИ НАНОТРУБКАМИ В МАКЕТНОМ ЛИТИЕВОМ АККУМУЛЯТОРЕ

ГВУЗ “Украинский государственный химико-технологический университет”, г. Днепропетровск

В тонкослойных электродах на основе композиций шпинели LiMn_2O_4 с многостенными углеродными нанотрубками достигнута высокая стабильность циклирования модельного литиевого аккумулятора с высокой скоростью разряда (более 20 С). В импедансных температурных исследованиях системы шпинельный МУНТ-композит/электролит ЭК, ДМК, 1М LiClO_4 установлено, что наиболее энергозатратными электродными процессами являются диффузионные процессы в объеме композита и перенос зарядов через межфазную границу шпинельный композит/электролит.

Введение

В коммерческих литий-ионных батареях на основе шпинели LiMn_2O_4 , обладающей низкой электронной проводимостью, в композиции со шпинелем используют электропроводные углеродные материалы. Из них преимущества отда-

ют графитам. В наших предыдущих исследованиях в модельных литиевых аккумуляторах показано, что скоростные и ресурсные характеристики механических смесей шпинели LiMn_2O_4 с природным графитом уступают таковым смесей шпинели с многостенными углеродными нанот-

рубками (МУНТ) [1]. В дальнейшем установлено, что сопротивление переноса зарядов R_{ct} через поверхность раздела (шпинельный композит с наполнителем) / электролит зависит от природы электронопроводящего углеродного наполнителя. Величина R_{ct} в шпинельном электроде снижается в тысячу раз в присутствии углеродного наполнителя. Ток обмена шпинельного электрода возрастает от порядка 10^{-7} до $10^{-4} \text{ А}\cdot\text{см}^{-2}$ под влиянием МУНТ. При потенциалах максимальной активности деинтеркаляционного процесса ток обмена композитного шпинельного электрода с МУНТ в 2,2–3,0 раза выше, чем таковой композиций шпинели с природным графитом. Величина R_{ct} зависит от сопротивления в контактах между частицами шпинели, а также между частицами шпинели и токового коллектора. Контактное сопротивление снижается под влиянием МУНТ с большей эффективностью, чем под влиянием природного графита, что объясняется малым размером частиц МУНТ и высокой поверхностью контакта.

В данной работе продолжены исследования композиций LiMn_2O_4 –МУНТ в редокс-реакции с литием на тонкослойных электродах с определением кинетических и термодинамических характеристик с целью выяснения наиболее энергозатратной стадии электродного процесса.

Методика эксперимента

Объектом исследования является шпинель LiMn_2O_4 (Merck) в композиции с многостенными углеродными нанотрубками (МУНТ) в тонких пленках на алюминиевой основе. Тонкослойные электроды LiMn_2O_4 , МУНТ/Al получали механическим втиранием смеси шпинели (Merck) с МУНТ (10 мас.%) в алюминиевую матрицу толщиной 50 мкм по методу [2]. Использована алюминиевая фольга для конденсаторов, соответствующая ГОСТу 25905–83. Масса композиций в электроде составляет 0,20–0,50 $\text{мг}\cdot\text{см}^{-2}$.

В качестве электронопроводящей добавки в композитных электродах использовали МУНТ, синтезированные каталитическим пиролизом этилена [3]. Продукт пиролиза представляет собой черный порошок с насыпной плотностью 25–30 $\text{г}\cdot\text{дм}^{-3}$. Внешний диаметр нанотрубок составляет около 10–30 нм, удельная поверхность 230 $\text{м}^2\cdot\text{г}^{-1}$.

Электрохимические исследования проводили в 2-хэлектродном макетном дисковом литиевом источнике тока в габаритах 2325 при гальваностатическом разрядно-зарядном циклировании, а также в изолированной 3-х электродной ячейке с литиевым противоэлектродом и Li/Li^+ -электродом сравнения по методу электрохимической импедансной спектроскопии с помощью аналитического радиометра VoltaLab

PGZ 301.

Макетные аккумуляторы и экспериментальную ячейку заполняли электролитом состава этиленкарбонат (ЭК, Merck), диметилкарбонат (ДМК, Merck), 1 М LiClO_4 (Йодобром). Содержание воды в электролитах не превышало 0,006% по методу К. Фишера. Сборку макетов и ячеек производили в перчаточном боксе в атмосфере сухого аргона.

Микрофотографии поверхности образцов получены с помощью сканирующего электронного микроскопа РЭМ–106И. Импедансные спектры (ИС) регистрировали и анализировали в частотном ряду 100 кГц – 0,01 Гц с помощью программ Zview, Zplot (Scribner Associates). ИС получены в ряду температур 287–327 К.

Результаты и их обсуждение

В исследованиях использована шпинель LiMn_2O_4 (Merck) с размерами частиц ≤ 20 мкм (рис. 1). При механическом втирании ее в алюминиевую матрицу включаются частицы размером не более 200 нм.

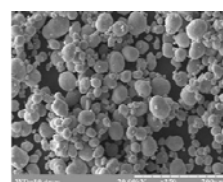


Рис. 1. Микрофотография порошка шпинели LiMn_2O_4

Разрядная емкость тонкослойного композитного электрода LiMn_2O_4 , МУНТ/Al в первых 5 циклах составляет 112–119 мАч·г⁻¹ (рис. 2). Получены высокие скоростные разрядные характеристики такого электрода (рис. 3). Разрядная емкость достигает 98–100 мАч·г⁻¹ при разрядной скорости 22,4 С. С – характеристика, имеющая размерность мА·г⁻¹, xС – значение тока, которым разряжается удельная емкость в течение ($1\cdot\text{x}^{-1}$) ч.

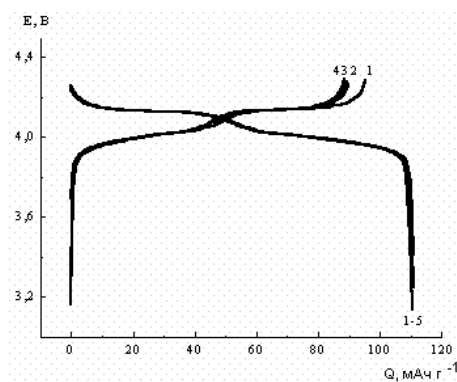


Рис. 2. Зарядно-разрядные кривые композитного LiMn_2O_4 , МУНТ/Al- электрода в макетном литиевом аккумуляторе в 1–5 циклах при скорости разряда 25 $\text{мкА}\cdot\text{см}^{-2}$ (0,72 С)

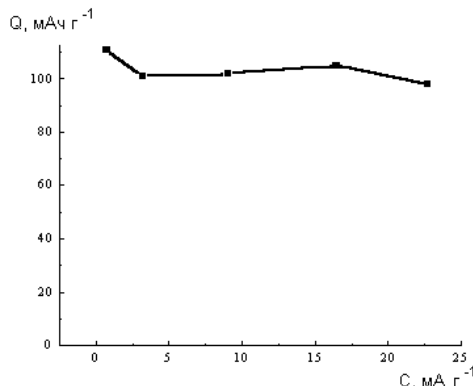
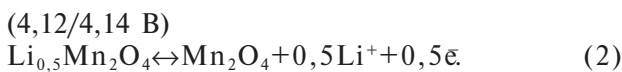
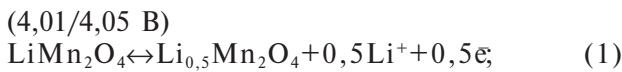


Рис. 3. Разрядная емкость (Q) композитного LiMn_2O_4 , МУНТ/Al-электрода в макетном литиевом аккумуляторе в зависимости от скорости разряда (C), измеренная в продолжение первых 95 циклов

В импедансных исследованиях величина разрядной емкости композитного шпинельного электрода равнялась $98\text{--}112 \text{ мАч}\cdot\text{г}^{-1}$ на протяжении 95 циклов. Такая высокая стабильность разрядной емкости достигнута при использовании мягкого отожженного конденсаторного алюминия в качестве токосъемника для шпинельного композита, обеспечивающего хорошую адгезию к нему втираемого материала.

Импедансные характеристики LiMn_2O_4 , МУНТ/Al-электрода в контакте с электролитом определены в максимумах электрохимической активности композита в зависимости от температуры, когда разрядная емкость составляет не менее $98\text{--}100 \text{ мАч}\cdot\text{г}^{-1}$. Максимумы электрохимической активности композитного шпинельного электрода соответствуют потенциалам относительно Li/Li^+ -электрода, находящимся вблизи 4,14 и 4,05 В в деинтеркаляционном (зарядном) процессе и 4,12 и 3,96 В – в интеркаляционном (разрядном) процессе. Они являются отражением фазовых переходов, происходящих в 4 В области потенциала, для редокс-пар 4,14/4,12 В и 4,05/3,96 В. Реакции (1, 2) представляют двухфазовые процессы деинтеркаляции/интеркаляции ионов лития из/в тетраэдрических позиций шпинельной структуры [4,5]:



На рис. 4 отображены температурные годографы импеданса системы LiMn_2O_4 , МУНТ/Al/электролит в максимуме электрохимической активности для фазового перехода, характеризующегося редокс-парой 4,14/4,12 В. Потенциал 4,14 В относится к максимуму деинтеркаляционного процесса, потенциал 4,12 В – к мак-

симуму интеркаляционного процесса.

Годограф состоит из двух полуокружностей в высоко- и среднечастотной областях и линейного шлейфа в низкочастотной области. Параметры элементов годографов импеданса определены при использовании модельной классической электрической схемы Рэндлса. Установлено, что меньшая высокочастотная полуокружность (рис. 4, вставки) характеризует сопротивление миграции ионов лития (R_s) через поверхность пленку, образованную на шпинельном композите при взаимодействии его с электролитом, шунтированное поверхностью емкостью двойного электрического слоя (C_{el}). Большая полуокружность относится к элементу $R_{ct}C_{el}$, представляющему сопротивление переноса зарядов (R_{ct}) через поверхность композит/электролит, шунтированное емкостью двойного электрического слоя (C_{el}). Линейная область ИС – характеристика диффузионных процессов в шпинельном композите. Эти элементы отражают процессы массопереноса зарядов в поверхности пленке, через

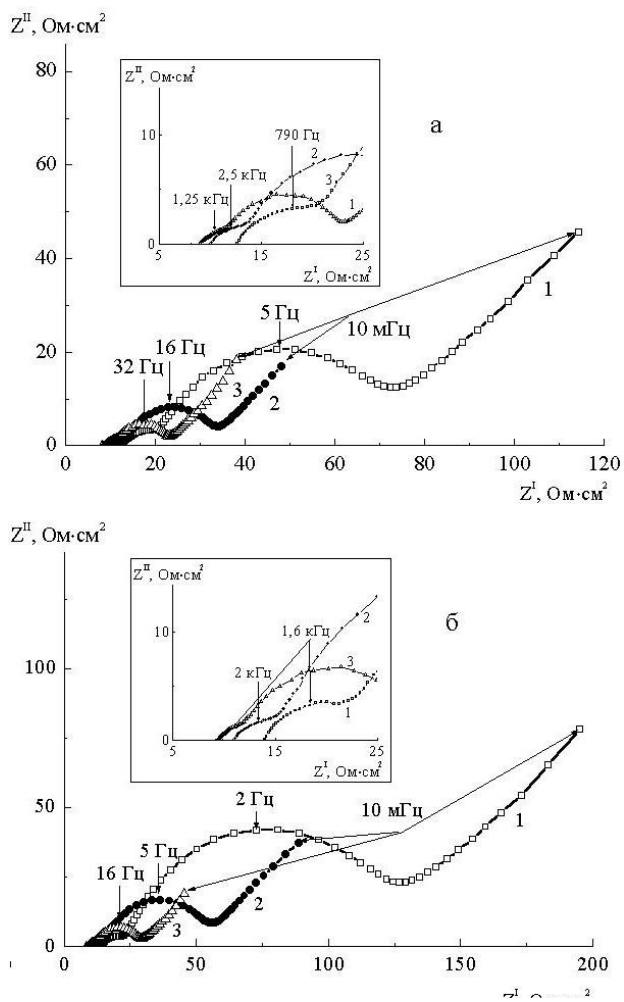


Рис. 4. Годографы импеданса, полученные для редокс-пары (4,14/4,12 В) в зависимости от температуры, К: 1) 287; 2) 307; 3) 327. На вставках – высокочастотная область: а – деинтеркаляция, б – интеркаляция

межфазную границу композит/электролит, в объеме шпинельного композита и определяют эффективность электрохимического преобразования композита. С помощью ИС определены параметры составляющих элементов и рассчитаны значения энергии активации миграции ионов лития в поверхностной пленке (E_m), переноса зарядов через межфазовую границу композит/электролит (E_{ct}) и диффузии ионов лития в объеме композита (E_d).

Для определения E_{ct} рассчитывали ток обмена (i_0) в зависимости от температуры в соответствии с законом Butler-Volmer (3), исходя из значения сопротивления переноса зарядов (R_{ct}), принятого равным диаметру большой полуокружности ИС:

$$R_{ct} = \frac{RT}{F i_0 n S}, \quad (3)$$

где R – универсальная газовая постоянная, $8,31 \text{ Дж}\cdot\text{моль}^{-1} \text{ К}$; T – абсолютная температура, К; F – число Фарадея, $96487 \text{ к}\cdot\text{моль}^{-1}$; i_0 – ток обмена, $\text{А}\cdot\text{см}^{-2}$; n – число молей, участвующих в электрохимической реакции, S – геометрическая площадь электрода (1 см^2)

По наклону $\frac{d\lg i_0}{dT}$, установленному из

рис. 5,а, согласно уравнению Аррениуса (4) рассчитана энергия активации процесса переноса зарядов E_{ct} , равная $33,16 \text{ кДж}\cdot\text{моль}^{-1}$ в максимуме зарядного процесса для редокс-пары $4,14/4,12 \text{ В}$:

$$\left(\frac{d\lg i_0}{dT} \right)_E = \frac{E_{ct}}{RT^2}. \quad (4)$$

Аналогичным образом получено значение энергии активации процесса переноса зарядов E_{ct} в максимуме интеркалиационного процесса при $E=4,12 \text{ В}$, равное $34,67 \text{ кДж}\cdot\text{моль}^{-1}$. Оно практически не отличается от установленной нами величины энергии активации деинтеркалиационного процесса при потенциале $4,14 \text{ В}$, что является следствием высокой обратимости редокс-пары $4,14/4,12 \text{ В}$.

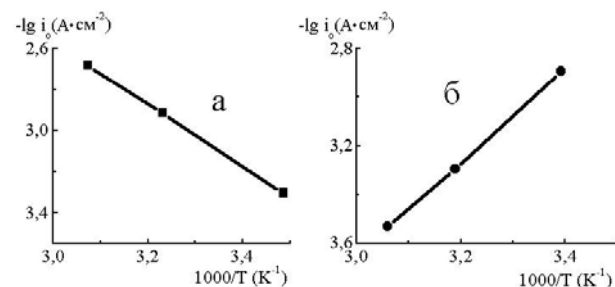


Рис. 5. Аррениусская зависимость тока обмена в процессе переноса зарядов через границу шпинельный композит/электролит, полученная при:
а – заряде до $4,14 \text{ В}$; б – разряде до $3,96 \text{ В}$

Для процесса миграции ионов лития через пленку на поверхности шпинельного композита энергия активации (E_m) определена по наклону $d\lg\sigma/d(1/T)$ в соответствии с уравнением (5):

$$E_m = -2,3R \cdot d\lg\sigma/d(1/T), \quad (5)$$

где σ – обратная величина сопротивления поверхности пленки (R_s), принятая равной диаметру малой полуокружности ИС (6):

$$\sigma = 1/R_s. \quad (6)$$

Установлено, что в максимумах электрохимической активности редокс-пары $4,14/4,12 \text{ В}$ энергия активации E_m в деинтеркалиационном процессе достигает $23,05 \text{ кДж}\cdot\text{моль}^{-1}$, в интеркалиационном – $18,61 \text{ кДж}\cdot\text{моль}^{-1}$.

Исходя из годографов импеданса, полученных при максимальной электрохимической активности шпинельных композиций в редокс-реакции с литием ($4,04$ и $3,96 \text{ В}$ для деинтеркаляции и интеркаляции соответственно) на основании рис. 5,б и рис. 6, рассчитаны значения энергии активации E_{ct} и E_m для редокс-пары $4,05/3,96 \text{ В}$.

Расчетные данные для определения E_{ct} и E_m приведены в табл. 1.

В низкочастотной области ИС можно выделить участок линейной зависимости с углом наклона 45 градусов, что адекватно (7):

Таблица 1

Расчетные данные для определения E_{ct} и E_m для редокс-пары $4,05/3,96 \text{ В}$ и полученные значения E_{ct} и E_m

Процесс	$E_c/E^*, \text{ В}$	$10^3/T, \text{ К}^{-1}$	$-\lg i_0 (\text{А}\cdot\text{см}^{-2})$	$-\lg\sigma (\text{Ом}^{-1}\cdot\text{см}^{-2})$	$E_{ct}, \text{ кДж}\cdot\text{моль}^{-1}$	$E_m, \text{ кДж}\cdot\text{моль}^{-1}$
Деинтеркаляция	$4,04/4,00$	3,484	3,47	1,188	26,9	15,73
		3,257	3,12	0,819		
		3,058	2,83	0,695		
Интеркаляция	$3,96/3,997$	3,470	3,63	1,041	36,5	22,12
		3,257	3,14	0,740		
		3,058	2,86	0,701		

Примечание: * – E_c – потенциал под током, E – потенциал в отсутствие тока

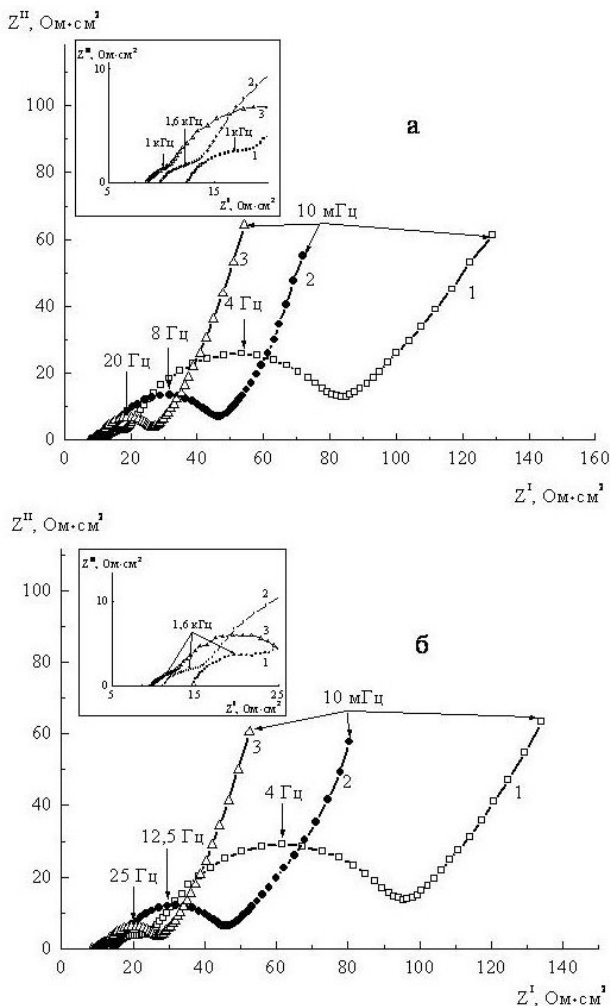


Рис. 6. Годографы импеданса, полученные для редокс-пары (4,05/3,96 В) в зависимости от температуры, К: 1) 287; 2) 307; 3) 327. На вставках – высокочастотная область: а – деинтеркаляция, б – интеркаляция

$$Z_\omega = A_\omega \omega^{-1/2} - j A_\omega \omega^{-1/2}, \quad (7)$$

где A_ω – постоянная Варбурга, $\Omega \cdot \text{см}^2 \cdot \text{с}^{-1/2}$; ω – круговая частота.

Минимая составляющая импеданса Варбурга Z_{im} пропорциональна $\omega^{-1/2}$ (8):

$$Z_{im} = j A_\omega \omega^{-1/2}. \quad (8)$$

Из экспериментальных данных по наклону прямой в координатах $Z_{im} - \omega^{-1/2}$ определена постоянная Варбурга A_ω в зависимости от температуры в деинтеркаляционном процессе редокс-пары 4,14/4,12 В шпинельного композита. Ее значения при температурах (К): 287; 307; 327 равны 17,74; 9,21; 4,8 $\Omega \cdot \text{см}^2 \cdot \text{с}^{-1/2}$ соответственно.

В электродах включения постоянная Варбурга определяется уравнением (9):

$$A_\omega = \frac{V_m (dE/dx)}{nF \sqrt{2D}}, \quad (9)$$

где V_m – молярный объем интеркаляционного материала (для шпинели – $41,094 \text{ см}^3 \cdot \text{моль}^{-1}$); dE/dx – производная потенциала без тока от степени интеркаляции (x), В; D – коэффициент химической диффузии ионов лития, $\text{см}^2 \cdot \text{с}^{-1}$; F – постоянная Фарадея, $\text{к}\cdot\text{моль}^{-1}$; A_ω – постоянная Варбурга, $\Omega \cdot \text{см}^2 \cdot \text{с}^{-1/2}$.

Уравнение (8) можно преобразовать в (10):

$$A_\omega = \frac{1(dE/dx)}{Q_m \sqrt{2D}}, \quad (10)$$

где 1 – толщина электрода, см; Q_m – максимальный заряд, отдаваемый электродом, $\text{к}\cdot\text{см}^{-2}$.

Значение dE/dx шпинельного композита определено дифференцированием экспериментальной зависимости потенциала композитного электрода (E) в отсутствие тока от количества включенного в шпинельный композит лития ($E-x$).

Коэффициент химической диффузии ионов лития в объеме шпинельного композита определяли в соответствии с (11, 12):

$$D_{Li} = \left(\frac{V_m \left(\frac{dE}{dx} \right)^2}{\sqrt{2Q_m A_\omega nF}} \right); \quad (11)$$

$$D_{Li} = \left(\frac{1 \frac{dE}{dx}}{\sqrt{2 \cdot Q_m A_\omega}} \right). \quad (12)$$

Зависимость коэффициента химической диффузии ионов лития от температуры определяется уравнением (13):

$$D_{Li} = D_0 e^{-\frac{E_d}{RT}}. \quad (13)$$

Тогда энергию активации диффузии ионов лития E_d легко установить по аррениусовскому наклону $\lg D / d(1/T)$ из уравнения (14) и рис. 7 (для деинтеркаляционного процесса редокс-пары 4,14/4,12 В):

$$E_d = -2,3R \frac{d \lg D}{d(1/T)}. \quad (14)$$

Величина E_d для химической диффузии ионов лития в максимуме электрохимической активности деинтеркаляционного процесса композиции шпинели с МУНТ для редокс-пары 4,14/4,12 В установлена равной 44, 26 кДж·моль⁻¹.

Таблица 2

Значения энергии активации E_{ct} , E_m , E_d для композиций LiMn_2O_4 , МУНТ

Процесс	Редокс-пара, В	E_{ct} , кДж·моль $^{-1}$	E_m , кДж·моль $^{-1}$	E_d , кДж·моль $^{-1}$
Деинтеркаляция	4,14/4,12	33,6	23,05	44,26
	4,05/3,96	26,3	15,73	—
Интеркаляция	4,14/4,12	34,67	18,71	—
	4,05/3,96	36,5	22,12	—

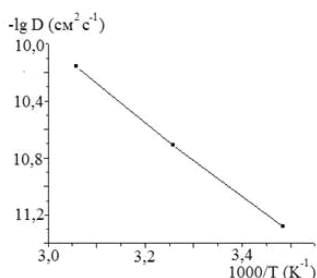


Рис. 7. Аррениусовский наклон коэффициента химической диффузии ионов лития (D) в максимуме электрохимической активности деинтеркаляционного процесса композиции шпинели с МУНТ для редокс-пары 4,14/4,12 В

В итоговой табл. 2 сопоставлены полученные значения энергии активации E_{ct} , E_m , E_d для композиций LiMn_2O_4 , МУНТ, определенные в максимумах электрохимической активности электродного процесса деинтеркаляция/интеркаляция ионов лития.

Полученные значения энергии активации отдельных стадий электродного процесса отличаются друг от друга, но отличия не носят экстремальный характер. Величины энергии активации переноса зарядов E_{ct} в пиковых позициях электрохимического процесса совпадают. Лишь для деинтеркаляции редокс-пары 4,05/3,96 В E_{ct} немного отличается от общего ряда значений меньшей величиной. Энергия активации переноса зарядов через поверхность пленку меньше почти в полтора раза, чем таковая E_{ct} . Энергия активации диффузионного процесса определена только для редокс-пары 4,14/4,12 В в деинтеркаляции, поскольку после длительных температурных исследований разрядная емкость шпинельного композита снизилась до 80 мАч·г⁻¹. Это свидетельствует о появлении деградационных процессов в шпинельном композите, который успешно циклировали в первых 250 циклах со стабильной емкостью. Деградационные процессы в шпинельном композите мы будем исследовать в дальнейшем. Полученное значение энергии активации диффузионного процесса превышает в 1,32 раза значение энергии активации процесса переноса зарядов E_{ct} .

Заключение

В данной работе, используя мягкую отожженную алюминиевую фольгу для конденсаторов как матрицу для композиций шпинели LiMn_2O_4 с углеродными нанотрубками в модельном литиевом аккумуляторе, удалось достичнуть стабильной разрядной емкости аккумулятора при высокой скорости разряда (более 20 С). В температурных импедансных исследованиях системы шпинельный МУНТ-композит/электролит определена энергия активации процессов миграции ионов лития через поверхностную пленку на композите, энергия активации переноса зарядов через границу раздела композит/электролит и энергия активации диффузионных процессов в объеме композита. Наиболее энергозатратными процессами являются диффузионные процессы в объеме композита, наряду с не менее значительными энергозатратами на перенос зарядов через межфазную границу шпинельный композит/электролит.

СПИСОК ЛИТЕРАТУРЫ

- Comparison study of LiMn_2O_4 composites with graphite and carbon nanotubes in the electrodes for Li-ion batteries / Peskov R., Apostolova R., Shembel E. et al. // Abstr. of 14th Int. Conf. Advanced batteries (ABAf-13): Accumulators and Fuel Cells. Brno, 2013. – P.48-51.
- Electrochemical behavior of electrodes comprising micro- and nano-sized particles of $\text{LiNi}_{0,5}\text{Mn}_{1,5}\text{O}_4$: A comparative study / Kovacheva Daniela, Markovsky Boris, Salitra Gregory et al. // Electrochim. Acta. – 2006. – Vol.50. – № 28. – P.5553-5560.
- Мележик А.В., Семенцов Ю.И., Янченко В.В. Синтез тонких углеродных нанотрубок на соосажденных металлоксидных катализаторах // Журн. прикл. химии. – 2005. – Т.78. – № 6. – С.938-944.
- Hwang B.J., Santhanam R., Liu D.G. Characterization of nanoparticles of LiMn_2O_4 synthesized by citric acid sol-gel method // J. Power Sources. – 2001. – Vol.97-98. – P.443-446.
- Eftekhari A. On the fractal study of LiMn_2O_4 electrode surface // Electrochim Acta. – 2003. – Vol.48. – № 19. – P.2831-2839.

Поступила в редакцию 13.12.2013